

# Innovative Synthesis of WAIM Layers for Waveguide-Fed Planar Phased Arrays

G. Oliveri, M. Salucci, N. Anselmi, and A. Massa

## Abstract

This work deals with the design of wide-angle impedance matching (*WAIM*) layers aimed at mitigating reflection issues arising in waveguide-fed planar phased arrays. The synthesis problem is formulated within the System-by-Design (*SbD*) framework, by minimizing the antenna input reflections caused by impedance mismatching when the array is steered through the optimization of the geometrical descriptors of the *WAIM* unit cells. Some numerical results are shown in order to assess the effectiveness of the proposed synthesis strategy.

# 1 Numerical Results

## 1.1 GUIDA D'ONDA CIRCOLARE - LATTICE ESAGONALE

Parametri Lattice:

- $S1_x = 1.06680E - 002$  [m]
- $S1_y = 0.000$  [m]
- $S2_x = 5.33400E - 003$  [m]
- $S2_y = 9.23876E - 003$  [m]

Parametri Waveguide:

- Raggio =  $4.191E - 003$  [m]
- eps = 2.54
- Frequency: f = 15.25 [GHz]

### 1.1.1 FORMA: Croce “1a”

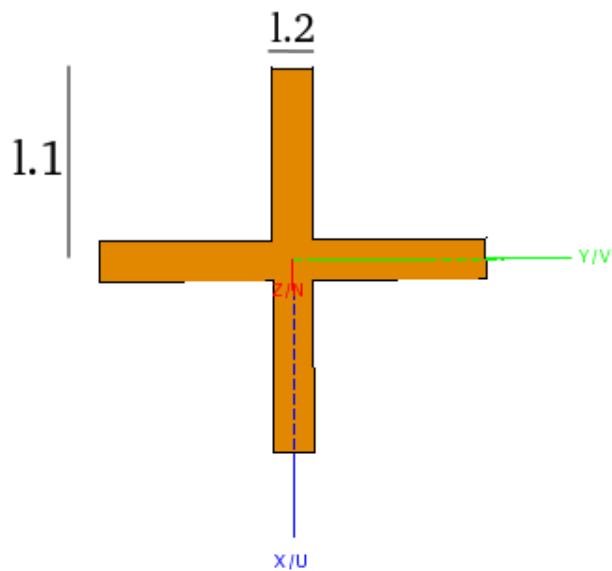


Figure 1: Croce, modello FEKO

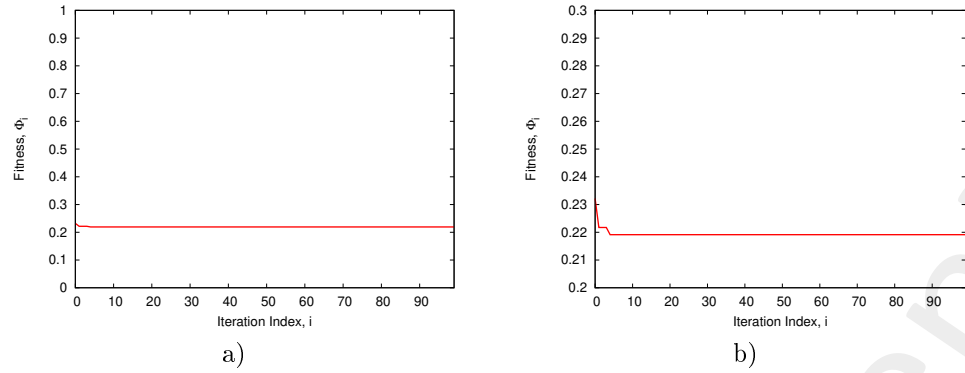


Figure 2: a) Fitness , b) zoom

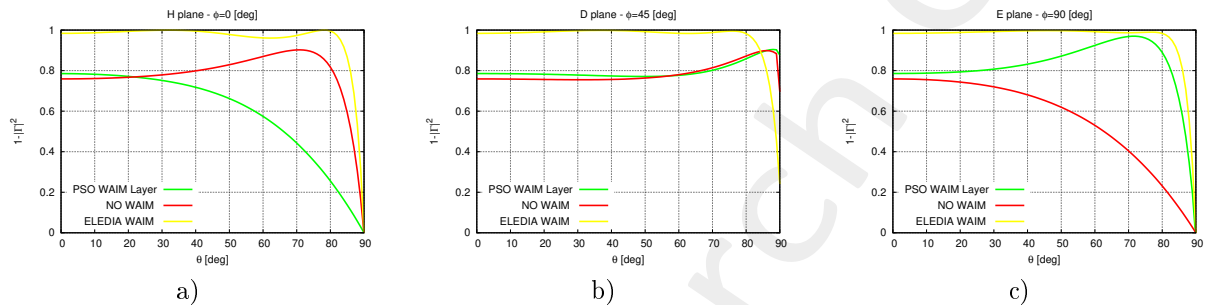


Figure 3: Coefficiente di Trasmissione , a) Piano H, b) Piano D, c) Piano E

### Confronto con Paper ELEDIA

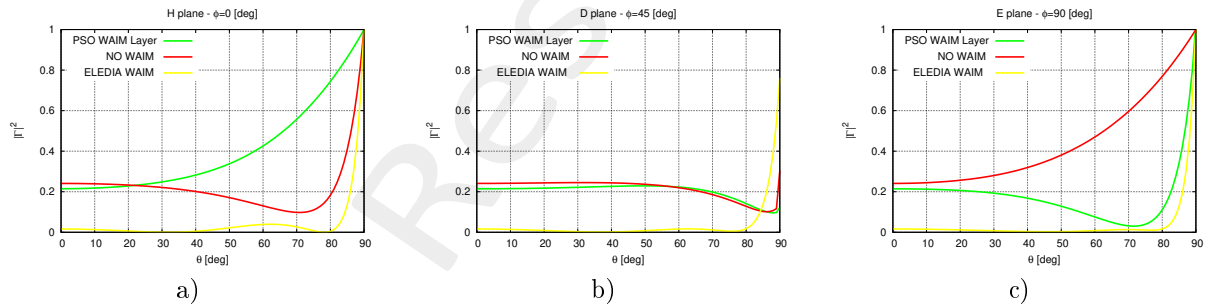


Figure 4: Coefficiente di Riflessione, a) Piano H, b) Piano D, c) Piano E

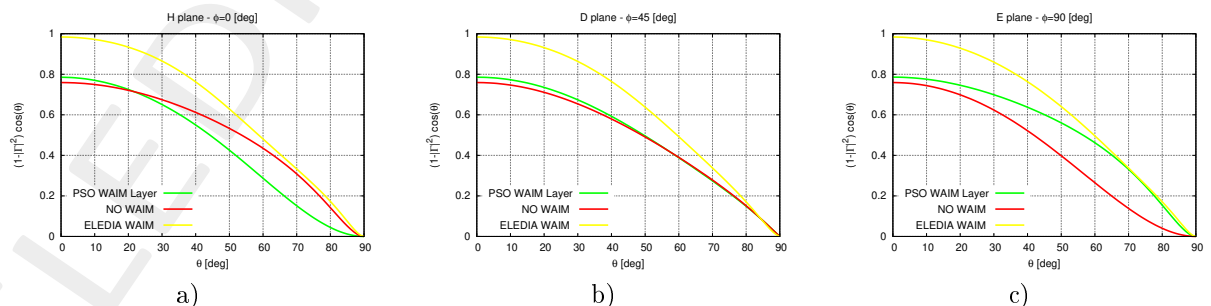


Figure 5: Coefficiente di Trasmissione ·  $\cos(\theta)$ , a) Piano H, b) Piano D, c) Piano E

Note:

- La croce utilizzata, anche con lattice esagonale, non riesce a produrre risultati buoni.

### 1.1.2 FORMA: Croce “2” (5 croci)

Come il modello croce “1a”, è possibile modificare lunghezza e larghezza delle braccia e angolo di tilt.

- *CrossLength*
- *CrossWidth*
- *TiltAngle*

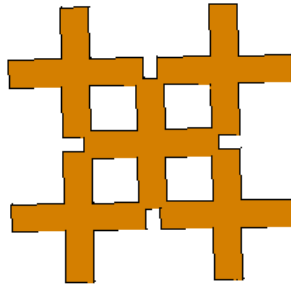


Figure 6: Croce, modello FEKO

Questa forma riporta a valori di  $\varepsilon \in [1, 3]$

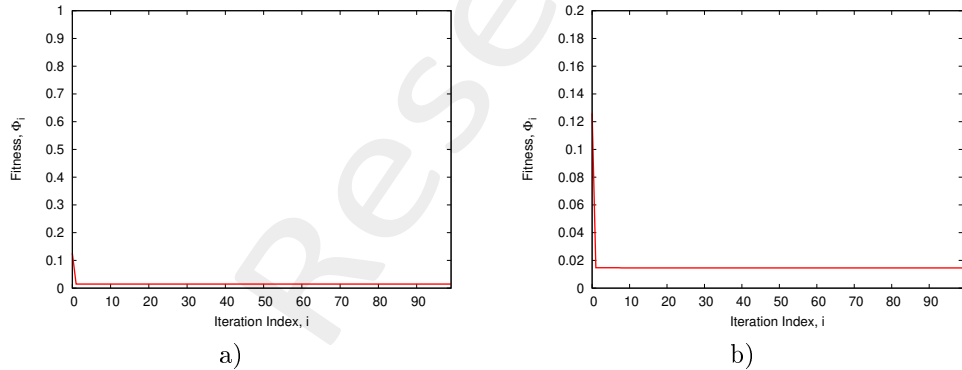


Figure 7: a) Fitness , b) zoom

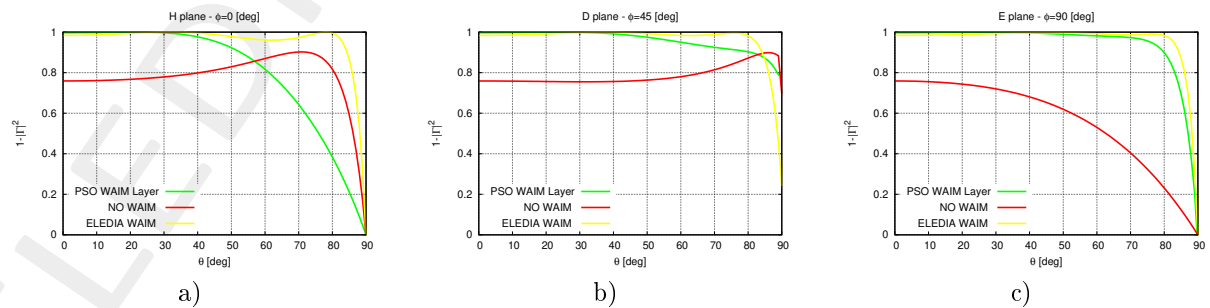


Figure 8: Coefficiente di Trasmissione, a) Piano H, b) Piano D, c) Piano E

### Confronto con Paper ELEDIA

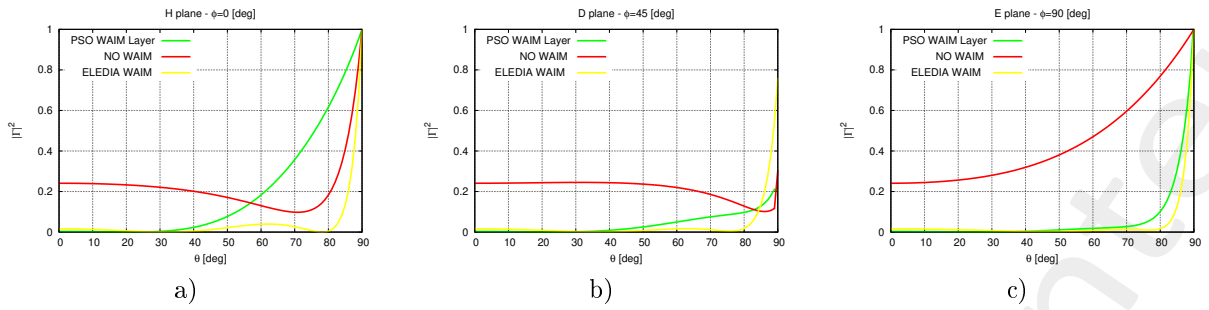


Figure 9: Coefficiente di Riflessione, a) Piano H, b) Piano D, c) Piano E

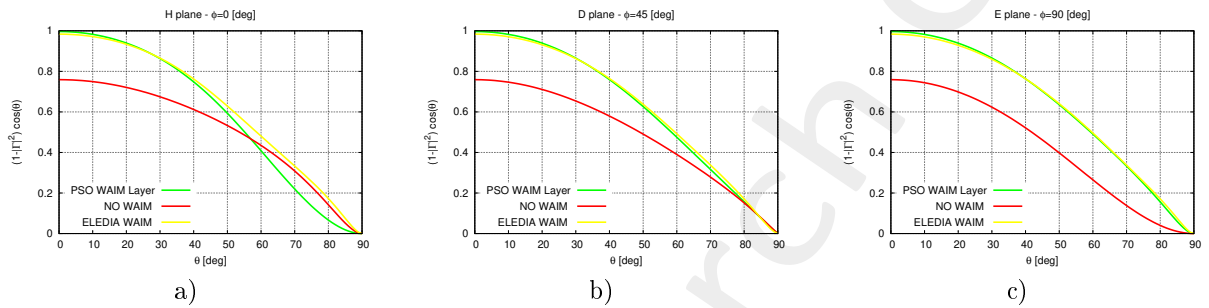


Figure 10: Coefficiente di Trasmissione ·  $\cos(\theta)$ , a) Piano H, b) Piano D, c) Piano E

Note:

- Questa tipo di forma del metamateriale e il tipo di lattice esagonale riesce ad ottenere risultati molto buoni, con fitness pari a  $1.45E - 002$  (valore minimo tra tutte le casistiche)

## 1.2 GUIDA D'ONDA QUADRATA - LATTICE TRIANGOLARE

Parametri Lattice:

- $S1\_x = 1.966E - 002$  [m]
- $S1\_y = 0.000$  [m]
- $S2\_x = 9.830E - 003$  [m]
- $S2\_y = 5.675E - 003$  [m]

Parametri Waveguide:

- $L = W = 7.040E - 003$  [m]
- $\epsilon_s = 2.54$
- Frequency:  $f = 15.25$  [GHz]

### 1.2.1 FORMA: Croce “1a”

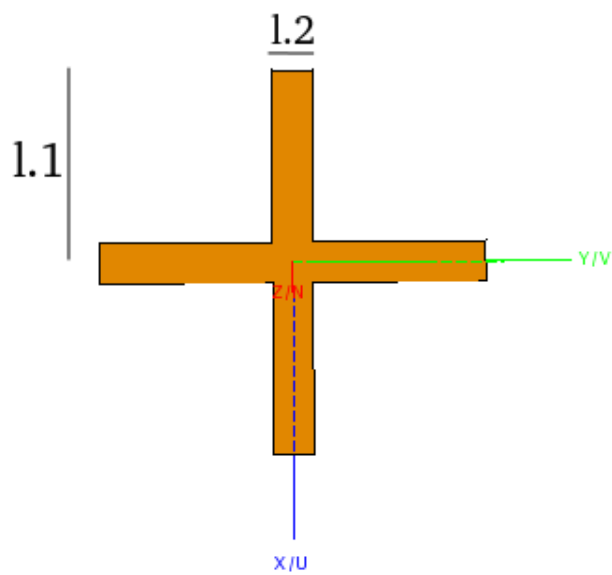


Figure 11: Croce, modello FEKO

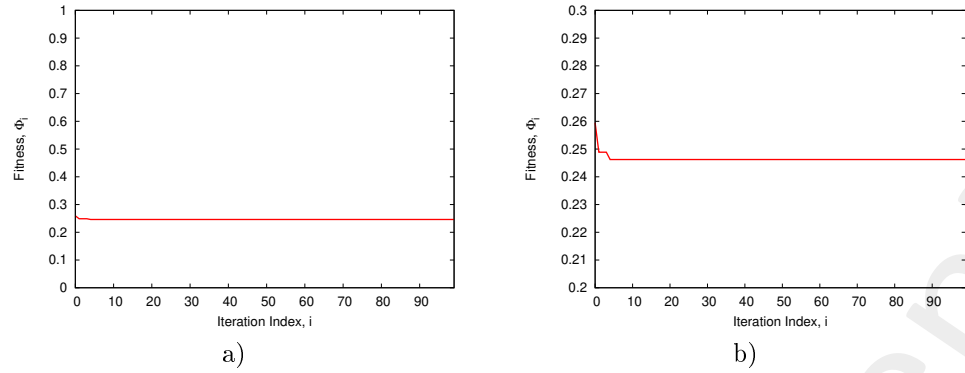


Figure 12: a) Fitness , b) zoom

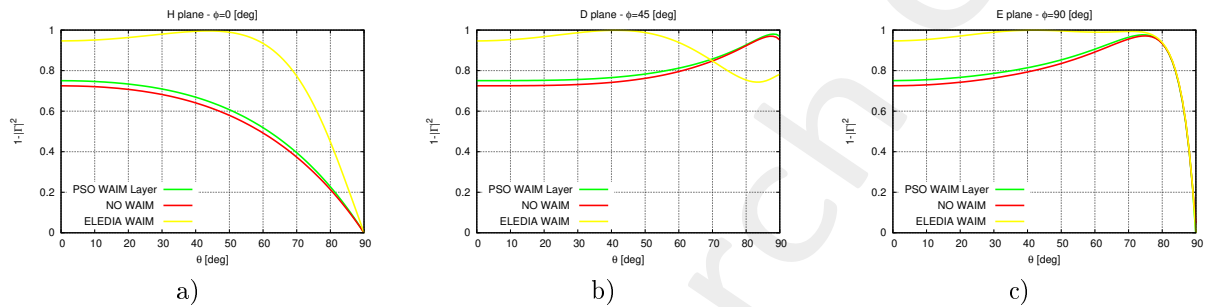


Figure 13: Coefficiente di Trasmissione , a) Piano H, b) Piano D, c) Piano E

### Confronto con Paper ELEDIA

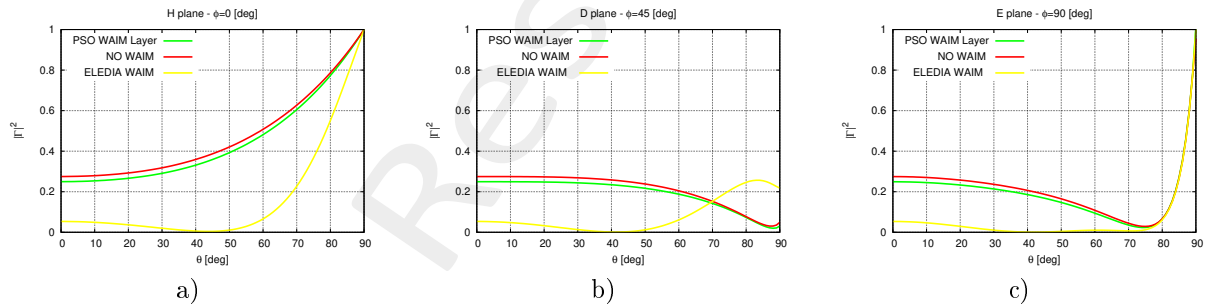


Figure 14: Coefficiente di Riflessione, a) Piano H, b) Piano D, c) Piano E

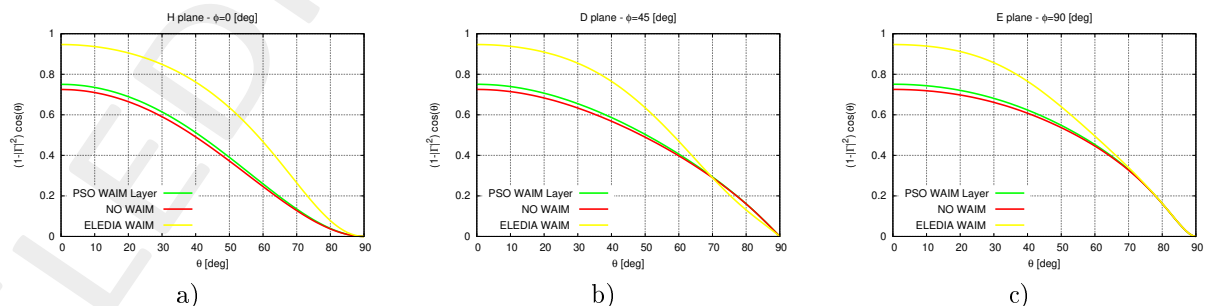


Figure 15: Coefficiente di Trasmissione ·  $\cos(\theta)$ , a) Piano H, b) Piano D, c) Piano E

Note:

- La croce, con guida d'onda quadrata e lattice triangolare non restituisce risultati soddisfacenti.

### 1.2.2 FORMA: Croce “2” (5 croci)

Come il modello croce “1a”, è possibile modificare lunghezza e larghezza delle braccia e angolo di tilt.

- *CrossLength*
- *CrossWidth*
- *TiltAngle*

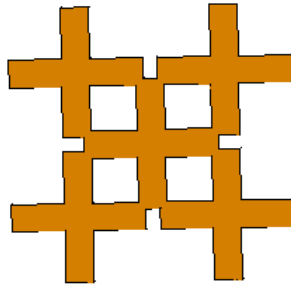


Figure 16: Croce, modello FEKO

Questa forma riporta a valori di  $\varepsilon \in [1, 3]$

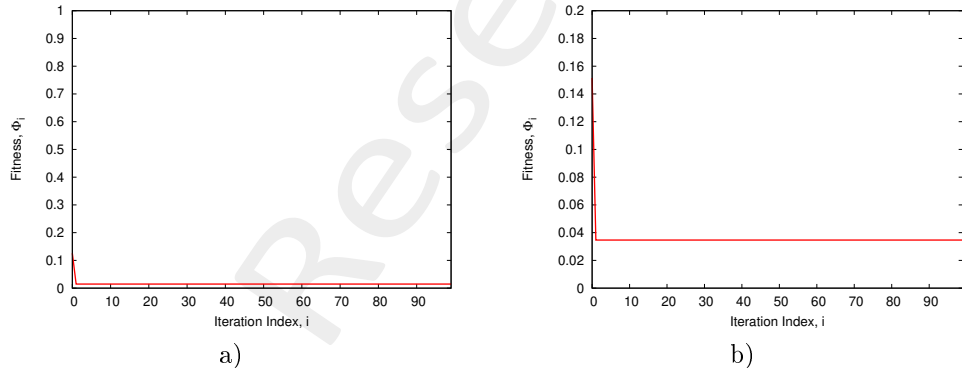


Figure 17: a) Fitness , b) zoom

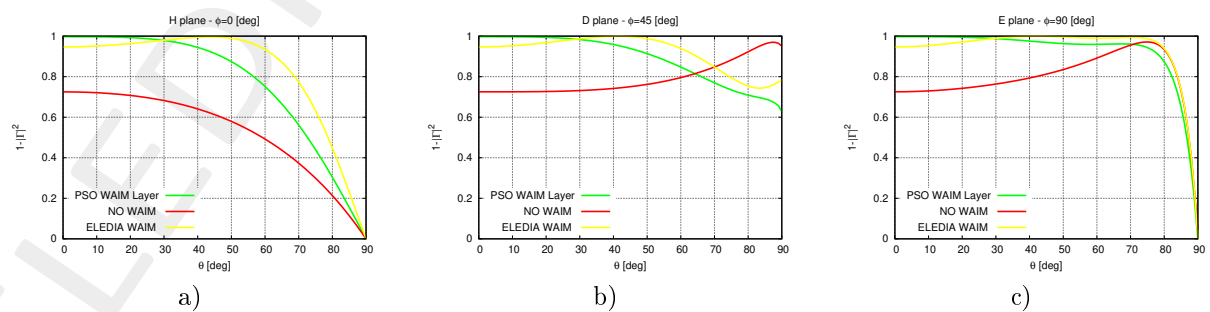


Figure 18: Coefficiente di Trasmissione, a) Piano H, b) Piano D, c) Piano E

### Confronto con Paper ELEDIA

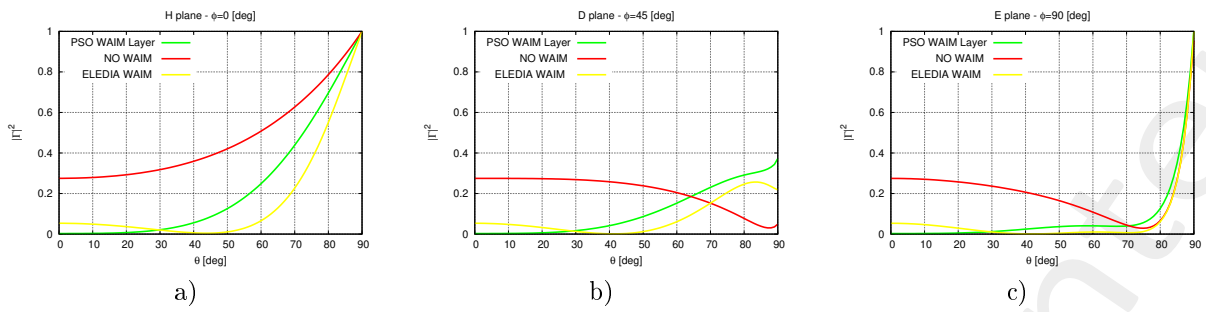


Figure 19: Coefficiente di Riflessione, a) Piano H, b) Piano D, c) Piano E

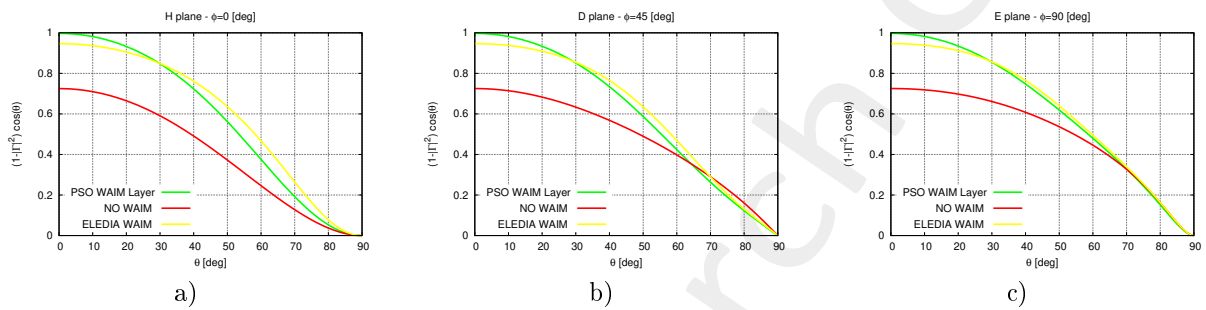


Figure 20: Coefficiente di Trasmissione ·  $\cos(\theta)$ , a) Piano H, b) Piano D, c) Piano E

---

**More information on the topics of this document can be found in the following list of references.**

## References

- [1] G. Oliveri, M. Salucci, N. Anselmi and A. Massa, "Multiscale System-by-Design synthesis of printed WAIMs for waveguide array enhancement," *IEEE J. Multiscale Multiphysics Computat. Techn.*, vol. 2, pp. 84-96, 2017 (DOI: 10.1109/JMMCT.2017.2701833).
- [2] A. Massa and G. Oliveri, "Metamaterial-by-Design: Theory, methods, and applications to communications and sensing - Editorial," *EPJ Applied Metamaterials*, vol. 3, no. E1, pp. 1-3, 2016 (DOI: 10.1051/epjam/2016011).
- [3] G. Oliveri, F. Viani, N. Anselmi, and A. Massa, "Synthesis of multi-layer WAIM coatings for planar phased arrays within the system-by-design framework," *IEEE Trans. Antennas Propag.*, vol. 63, no. 6, pp. 2482-2496, June 2015 (DOI: 10.1109/TAP.2015.2415516).
- [4] G. Oliveri, L. Tenuti, E. Bekele, M. Carlin, and A. Massa, "An SbD-QCTO approach to the synthesis of isotropic metamaterial lenses," *IEEE Antennas Wireless Propag. Lett.*, vol. 13, pp. 1783-1786, 2014 (DOI: 10.1109/LAWP.2014.2365525).
- [5] A. Massa, G. Oliveri, P. Rocca, and F. Viani, "System-by-Design: a new paradigm for handling design complexity," *8th European Conference on Antennas Propag. (EuCAP 2014), The Hague, The Netherlands*, pp. 1180-1183, Apr. 6-11, 2014 (DOI: 10.1109/EuCAP.2014.6901983).
- [6] G. Oliveri, E. T. Bekele, M. Salucci, and A. Massa, "Transformation electromagnetics miniaturization of sectoral and conical horn antennas," *IEEE Trans. Antennas Propag.*, vol. 64, no. 4, pp. 1508-1513, April 2016 (DOI: 10.1109/TAP.2016.2522465).
- [7] G. Oliveri, E. T. Bekele, M. Salucci, and A. Massa, "Array miniaturization through QCTO-SI metamaterial radomes," *IEEE Trans. Antennas Propag.*, vol. 63, no. 8, pp. 3465-3476, Aug. 2015 (DOI: 10.1109/TAP.2015.2434412).
- [8] P. Rocca, M. Benedetti, M. Donelli, D. Franceschini, and A. Massa, "Evolutionary optimization as applied to inverse problems," *Inverse Problems*, vol. 25, pp. 1-41, Dec. 2009 (DOI: 10.1088/0266-5611/25/12/123003).
- [9] N. Anselmi, P. Rocca, M. Salucci, and A. Massa, "Optimization of excitation tolerances for robust beamforming in linear arrays," *IET Microwaves, Antennas & Propagation*, vol. 10, no. 2, pp. 208-214, 2016 (DOI: 10.1049/iet-map.2015.0508).
- [10] T. Moriyama, F. Viani, M. Salucci, F. Robol, and E. Giarola, "Planar multiband antenna for 3G/4G advanced wireless services," *IEICE Electronics Express*, vol. 11, no. 17, pp. 1-10, Sep. 2014 (DOI: 10.1587/elex.11.20140570).
- [11] F. Viani, "Dual-band sierpinski pre-fractal antenna for 2.4GHz-WLAN and 800MHz-LTE wireless devices," *Progress In Electromagnetics Research C*, vol. 35, pp. 63-71, 2013 (DOI: 10.2528/PIERC12101204).

- 
- [12] F. Viani, M. Salucci, F. Robol, and A. Massa, “Multiband fractal Zigbee/WLAN antenna for ubiquitous wireless environments,” *J. Electromagn. Waves Appl.*, vol. 26, no. 11-12, pp. 1554-1562. 2012 (DOI: 10.1080/09205071.2012.704553).
  - [13] F. Viani, M. Salucci, F. Robol, G. Oliveri, and A. Massa, “Design of a UHF RFID/GPS fractal antenna for logistics management,” *J. Electromagn. Waves Appl.*, vol. 26, pp. 480-492, 2012 (DOI: 10.1163/156939312800030640).
  - [14] P. Rocca, G. Oliveri, R. J. Mailloux, and A. Massa, “Unconventional phased array architectures and design methodologies - A review,” *Proceedings of the IEEE - Special Issue on 'Phased Array Technologies'*, vol. 104, no. 3, pp. 544-560, March 2016 (DOI: 10.1109/JPROC.2015.2512389).
  - [15] F. Viani, F. Robol, M. Salucci, and R. Azaro, “Automatic EMI filter design through particle swarm optimization,” *IEEE Trans. Electromagn. Compat.*, vol. 59, no. 4, pp. 1079-1094, Aug. 2017 (DOI: 10.1109/TEMC.2017.2652416).